

Wiederholung

Energieverlust geladener (ionisierender) Teilchen in Materie.

Bethe - Bloch - Beziehung

$$\frac{dE}{dx} = D_e \left(\frac{Z}{\beta_{\text{Proj.}}} \right)^2 n_e \left\{ \ln \frac{2m_e c^2 \beta^2 \gamma^2}{I} - \beta^2 \right\}$$

$$D_e = 4\pi r_e^2 m_e c^2 = 5.1 \cdot 10^{-25} \text{ MeV cm}^2$$

$$r_e = \frac{e^2}{m_e c^2} \hat{=} \text{klass. e-Radius}$$

$$n_e = Z_e \frac{N_A \rho}{A} \hat{=} \# e^- / \text{Vol.}$$

Merke

• Energie wird übertragen auf Hüllenelektronen

• E-Verlust prop. Z^2 / v^2 (ProjektivL)

• $E \cdot \frac{dE}{dx}$ prop. $m \cdot Z^2$

$$(\text{oder } \frac{dE}{dx} \sim \frac{1}{E} m Z^2)$$

Teilchen -
identifizierung

Stopping power

$$S := \frac{1}{\rho} \frac{dE}{dx} \quad [\text{MeV/(g/cm}^2\text{)}]$$

Reichweite

$$R := - \int_E^0 \left(\frac{1}{\frac{dE}{dx}} \right) dE$$

Beispiel:

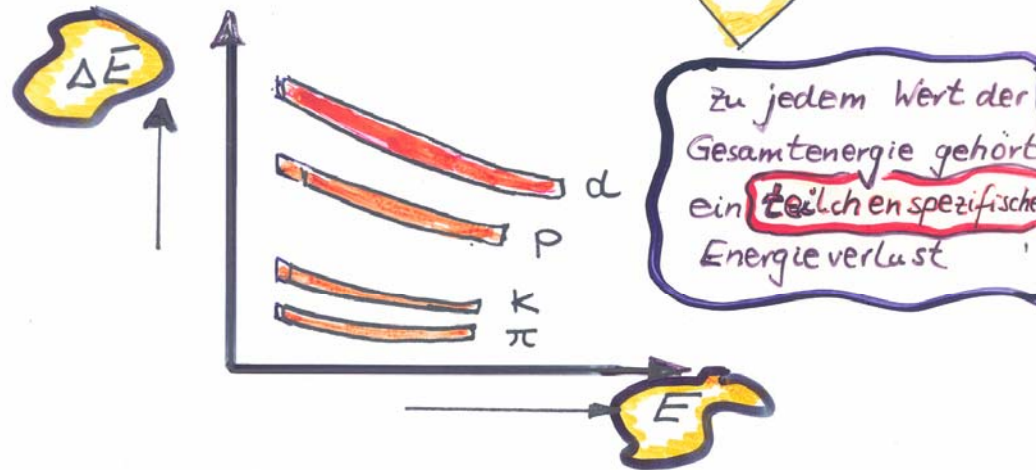
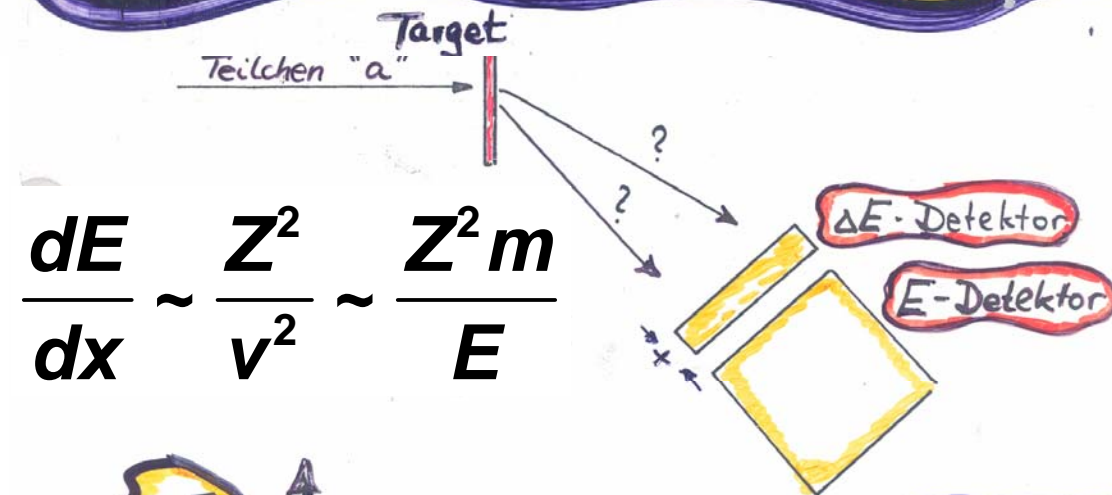
$$200 \text{ MeV } \alpha = 50 \text{ MeV/A} ; z^2 = 4$$

$$600 \text{ MeV } {}^{12}\text{C} = 50 \text{ MeV/A} ; z^2 = 36$$

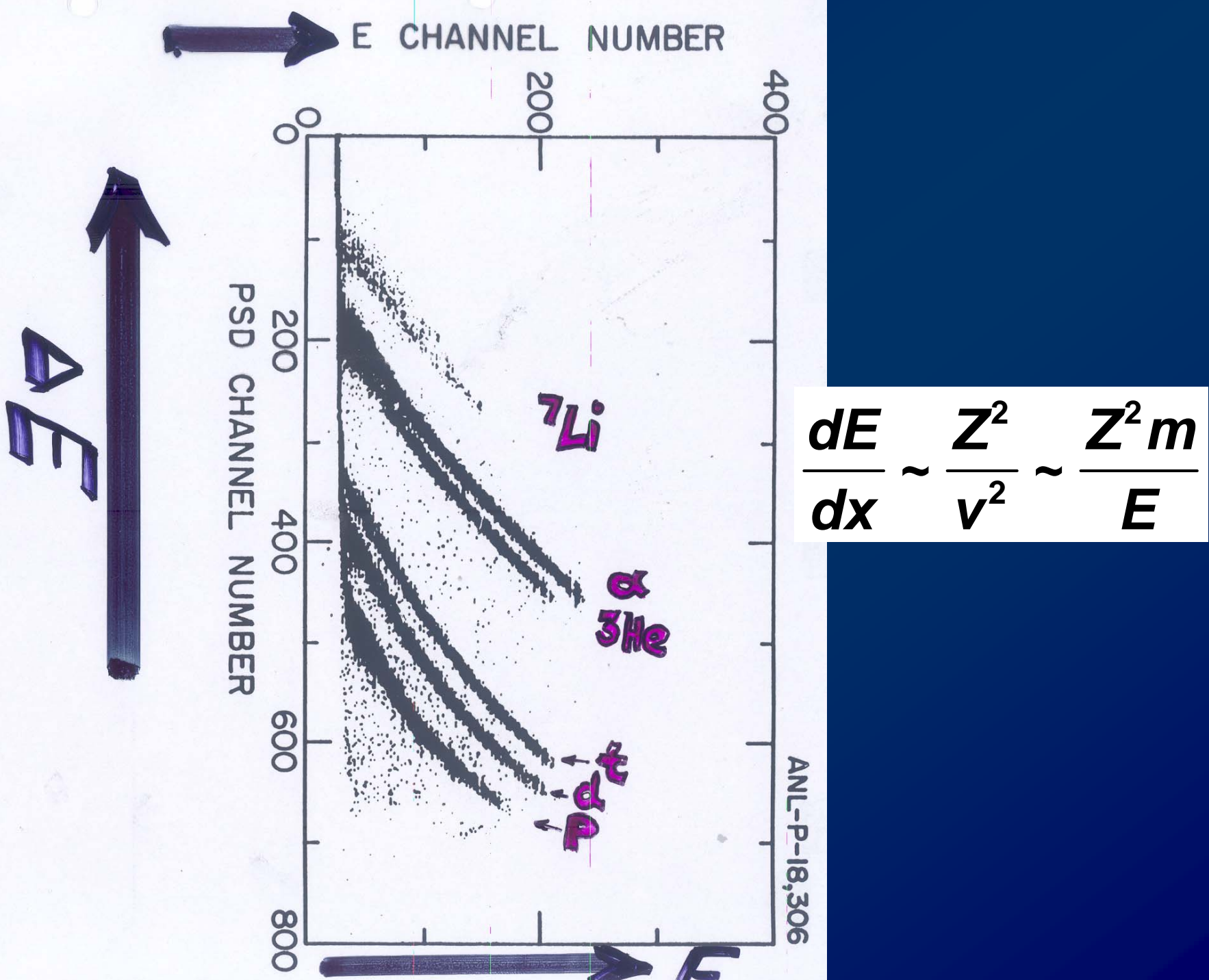
$\therefore \frac{dE}{dx} (600 \text{ MeV } {}^{12}\text{C}) \doteq 9 \cdot \frac{dE}{dx} (200 \text{ MeV } \alpha)$

$$909.97 \text{ MeV/cm} = 9.0016 \cdot 101.09 \text{ MeV/cm}$$

Teilchen identifizierung über Messung des Energieverlusts



! teilchen spezifischer Energieverlust !



Energieverlust von Elektronen

$$\Delta E = \Delta E_{\text{kollision}} + \Delta E_{\text{Bremsstrahlung}}$$

↑ ↑
Bethe - Bloch s. a. Jackson: Class. E. Dyn

$$\left(\frac{dE}{dx} \right)_{\text{B.S.}} / \left(\frac{dE}{dx} \right)_{\text{koll}} \approx \frac{Z_2 E}{1600 mc^2}$$

Kritische Energie : $\left(\frac{dE}{dx} \right)_{\text{B.S.}} = \left(\frac{dE}{dx} \right)_{\text{koll.}}$

$$E_{\text{krit}} = \frac{1600}{Z_2} mc^2$$

Projektil

Material

○ e^- in Pb : $E_{\text{krit}} \approx 10 \text{ MeV}$

○ μ in Pb : $E_{\text{krit}} \approx 2.05 \text{ GeV}$

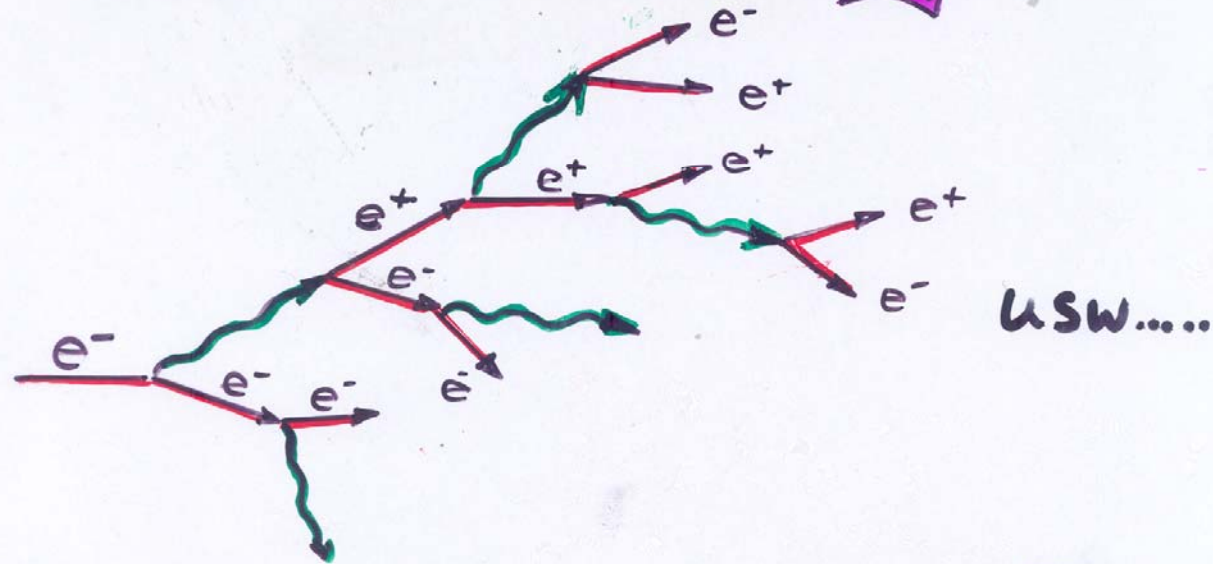
○ p in Pb : $E_{\text{krit}} \approx 18 \text{ GeV}$

$$\frac{dE}{dx} (2 \text{ GeV } \mu \text{ in Pb}) \sim 1.6 \text{ MeV/cm}$$

$$\frac{dE}{dx} (18 \text{ GeV } p \text{ in Pb}) \sim 1.5 \text{ MeV/cm}$$

Merke auch : $\frac{ds}{dE_{hv}} \sim \frac{Z^2}{E_{hv}}$ für Elektronen
 $(E_{hv} \text{ genügend groß})$

damit ergibt sich bei hohen Energien folgende Situation bei der **Bremsstrahlung**



Ausbildung eines
e-m Schauers ☺

Nachweis neutraler Teilchen

3

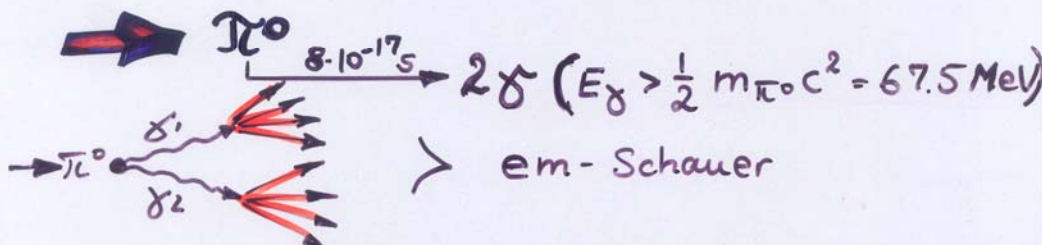
Prinzip: WW im Detektor muß ein geladenes Teilchen produzieren
(am Ende der WW-Kette steht ein elektrischer Impuls.)

primärer WW-Prozeß

- → em-WW
- → hadr.-WW
- → schwache WW

Beispiel:

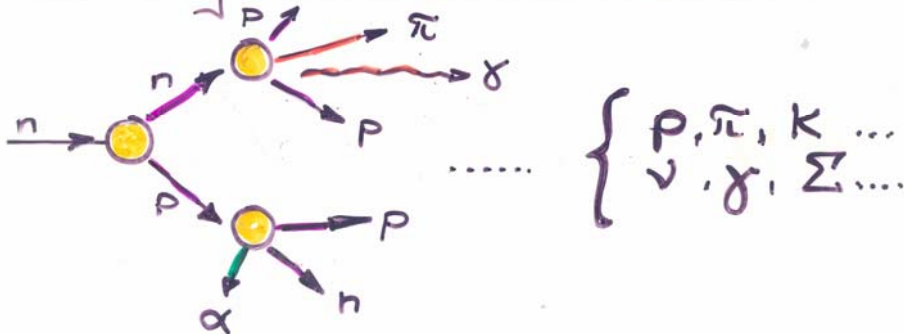
- $\gamma \rightarrow \gamma$ →
- Photoeffekt
 - Compton-Effekt
 - Paarbildung
 - em-Schauer



$n \rightarrow$ hadronische WW
Stöße mit kernen bzw. Protonen

Nachweis extrem hochenergetischer Neutronen ($E \gtrsim 5\text{-}10 \text{ GeV}$)

Ausbildung eines **hadronischen Schauers**



- die ionisierenden sekundären Teilchen erzeugen das elektrische Signal
- die Dimensionen des Detektors müssen der zu erwartenden Schauerausdehnung angepaßt werden (große Detektoren)
- die schnelle **transversale** Ausdehnung des Energieflusses unterscheidet hadronische von em-Schauern
- hadronische Schauer haben größere Eindringtiefen

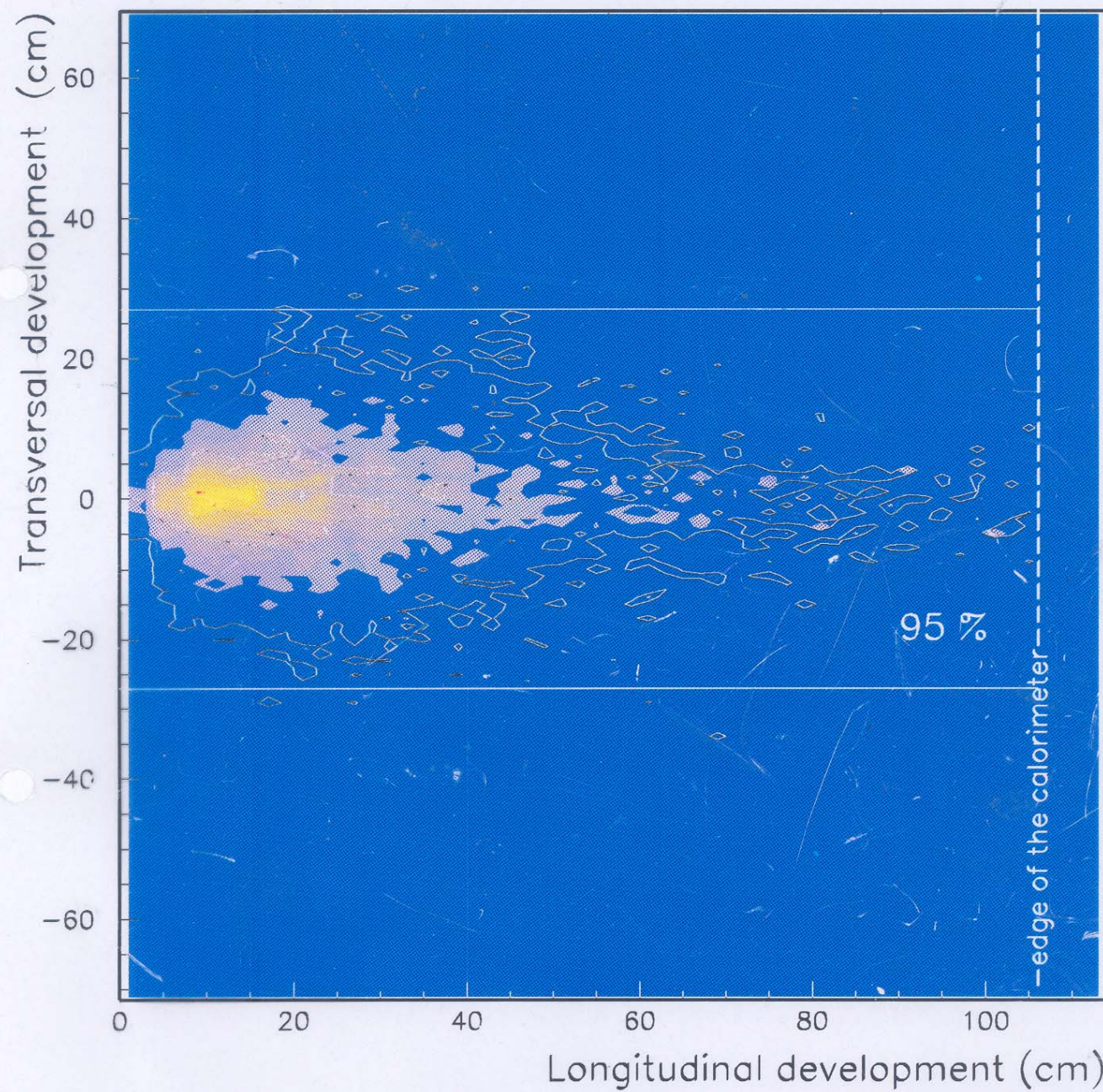
ABER

n-, p-, oder π -induzierte Schauer lassen sich nicht unterscheiden.

➤ Teilchenidentifizierung muß vorher geschehen

Detektortechnologie immer noch entwickelbar

10 GeV. π shower



Ansprachwahrscheinlichkeit, Effizienz

$$dI = -I_0 \cdot \mu \cdot dx$$

$$= -I_0 \cdot \frac{\rho N_L}{A} \bar{\sigma}_{\text{tot}} dx$$

definiere: "mittlere freie Weglänge" λ_{mfp}

$$\lambda_{\text{mfp}} = \frac{A}{\rho N_L \bar{\sigma}_{\text{tot}}}$$

Beispiel:

Wasser : $A = 18$ (2/18 H + 16/18 O)

$$\rho = 1$$

$$\bar{\sigma}_{\text{tot}} = 400 \text{ mb} \quad 100 \text{ MeV n}$$

$$\lambda_{\text{mfp}} = 75 \text{ cm}$$

oder:

$$10 \text{ cm Wasser} : I = I_0 e^{-10/75} \\ = 0.88 I_0$$

$$\epsilon = (1 - 0.88) \hat{=} 12\%$$

Wieviel Eisen ist erforderlich um einen
20 GeV π -Strahl um 90% abzuschwächen

Zunächst elektronische Reichweite

$$\frac{1}{g} \frac{dE}{dx} \sim 2 \left(\frac{\text{MeV}}{\text{g/cm}^2} \right) \quad \leftarrow \text{min. ion.}$$

$\rho_{\text{Eisen}} \sim 7.9 \text{ g/cm}^3$

$\rightarrow \frac{dE}{dx} = 16 \text{ MeV/cm}$

$\rightarrow \text{bei } 20 \text{ GeV} : \frac{20 \cdot 10^3}{16} \text{ cm} \sim 12.5 \text{ m}$

Aber hadr. WW

20 GeV π : $\rho \lambda_{\text{mfp}} \sim 132 \text{ g/cm}^2$

$$I = I_0 e^{-x/\lambda_{\text{mfp}}}$$

$$\ln(I/I_0) = -x/\lambda_{\text{mfp}}$$

$$\begin{aligned} \rightarrow x &= -\ln \frac{I}{I_0} \lambda_{\text{mfp}} \\ &= -\ln(0.1) 16.7 \\ &= 2.3 \cdot 16.7 \approx 39 \text{ cm} \end{aligned}$$

nachgeguckt

Vorsicht: nicht alle sekundären
Teilchen werden gestoppt.

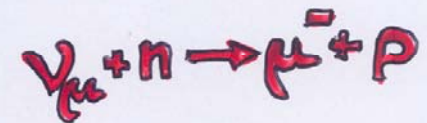
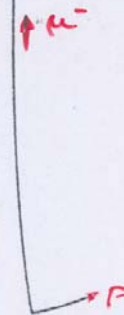
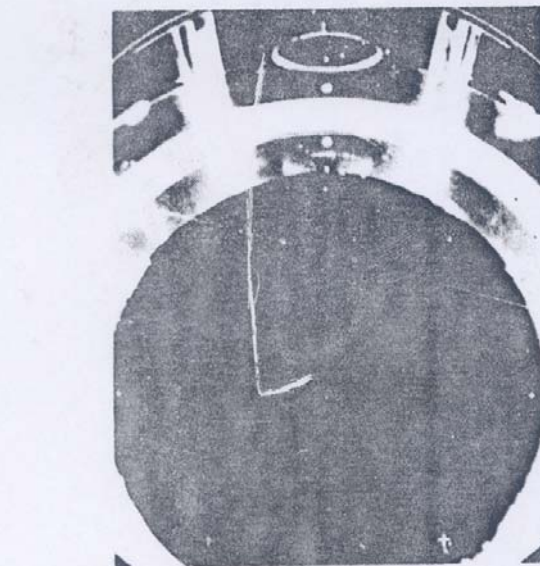
Aufschlüsselung der einzelnen
 Beiträge beim Nachweis eines
 10 GeV p (n) in einem
 Eisen / L(Ar) "kalorimeter"

Table 11.2. Average fractional energy deposition for a 10-GeV proton in an iron/liquid argon calorimeter

| Process | Percent of total |
|---|------------------|
| Secondary proton ionization | 31.6 |
| Electromagnetic cascade (π^0) | 21.0 |
| Nuclear binding energy plus neutrino energy | 20.6 |
| Secondary π^\pm ionization | 8.2 |
| Neutrons with $E > 10$ MeV | 4.9 |
| Neutrons with $E < 10$ MeV | 3.9 |
| Residual nuclear excitation energy | 3.7 |
| $Z > 1$ ionization | 2.4 |
| Primary proton ionization | 2.3 |
| Other | 1.4 |

aus einer Monte-Carlo - Rechnung

CERN Big-European Bubble Chamber (BEBC) 1963

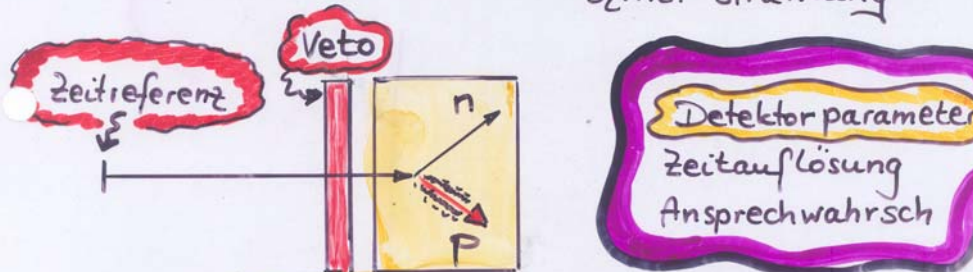


Nachweis von Neutronen im 10-1000 MeV-Bereich

Prinzip

elastische Streuung an protonenhaltigen Substanzen

(Plastiksintillatoren → Emmission von $h\nu$)
szint. Strahlung



Detektor parameter
Zeitauflösung
Ansprechwahrsch

$\leftarrow S \rightarrow$
Flugzeit (tof)

Energie bestimmung über
Flugzeit

$$E = mc^2\gamma$$

$$\Rightarrow t_{\text{of}} = \frac{E}{c} \sqrt{\frac{S}{E^2 - m^2 c^4}}$$

$$E = E_{\text{kin}} + mc^2$$

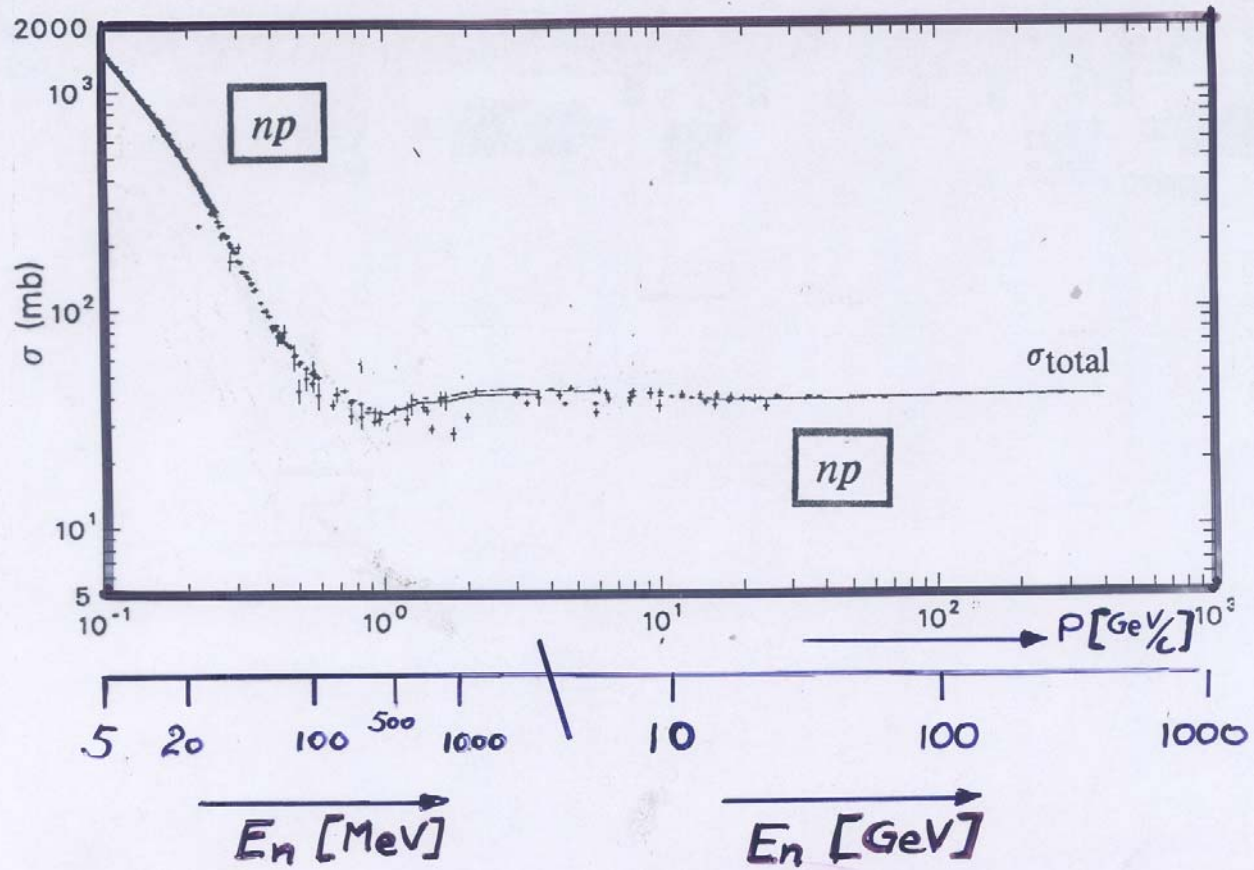
$$c = 0.3 \text{ m/nsec}$$

$$m_n c^2 = 939.6 \text{ MeV}$$

Beispiel: $S=10 \text{ m}$

| E_{kin} [MeV] | t_{of} [nsec] | ΔE ($\Delta t = 0.5 \text{ nsec}$) |
|------------------------|------------------------|--|
|------------------------|------------------------|--|

| | | |
|------|------|-----------|
| 10 | 230 | ~ 20 keV |
| 100 | 77.8 | ~ 300 keV |
| 200 | 58.8 | ~ 3 MeV |
| 500 | 44. | ~ 10 MeV |
| 1000 | 38.1 | ~ 50 MeV |



elementarer totaler Neutron-Proton Wirkungsquerschnitt σ_{tot}
 $\sigma(E_n=0) = 20 \text{ barn}$

Wirkung von Strahlung auf biologische Substanzen

1

γ -Strahlung

Absorption durch

- Photo-Effekt
- Compton-Effekt
- Paarbildung

Folge

- Erzeugung energetischer Elektronen am Ort der Absorption
- weitere Ionisierung der Umgebung & Dissoziation der Molekülstruktur
- Eindringtiefe **groß !!** stark E-abhängig

2

β -Strahlung

Absorption durch

- Kollision mit Hüllenelektronen (Bethe-Bloch)
- Bremsstrahlung

Folge

- Ionisation & Dissoziation der Umgebung
- Eindringtiefe **kleiner** als bei γ -Strahlung

3

α -Strahlung

Absorption durch

- Kollision mit Hüllelektronen
(Bethe - Bloch)

Folge

- starke Ionisation der Umgebung &
Dissoziation
- Eindringtiefe **gering** $\gg \frac{dE}{dx}$ **groß**

4

Schwerionenstrahlen ($A > 4$)

Absorption

wie bei α -Strahlung

aber

- Eindringtiefe **extrem gering**
 $(\frac{dE}{dx} \sim \frac{z^2}{v^2}) \gg$ Schädigung maximal

5

Neutronen

Absorption durch

schnell

- elastische Stöße mit Protonen
- durch sukzessive Stöße schnelle Thermalisierung

Langsam

- anschließender Einfang da $\delta(n,\gamma)$ groß für E_n klein

Folge:

- Erzeugung energetischer Protonen oder anderer Rückstoßteilchen
Zerstörung des Moleküls
- nachfolgende starke Ionisation & Dissoziation der Umgebungsmoleküle
- n-Einfang und Erzeugung von **γ -Strahlung** ($\langle N_\gamma \rangle \sim 3-5$)
$$\sum E_\gamma = B_n \sim 7-8 \text{ MeV}$$
- Eindringtiefe **groß**

Strahlungsdosen

- **Ionendosis** : Röntgen (R)
Strahlungsmenge, die in **1 ml Luft**
1 esE ($= 3 \cdot 10^{-9} \text{ C}$) Ionen erzeugt
oder
$$1 \text{ R} = 2.6 \cdot 10^{-4} \frac{\text{C}}{\text{Kg}} \text{ (Luft)} \quad \text{Gray}$$

- **Energiedosis** :
$$1 \text{ rad} = 10^{-2} \frac{\text{J}}{\text{Kg}} = 100 \frac{\text{erg}}{\text{g}} = 10^{-2} \text{ Gy}$$

die durch die Strahlung pro Substanzmenge abgegebene Energie

○ Röntgen equivalent man

↑ ↑ ↑

$$1 \text{ rem} = 10^{-2} \text{ Sv} \quad (\text{Sievert})$$

$$(1 \text{ mrem} = 10 \mu\text{Sv})$$

Äquivalentdosis zu **1 rad** Röntgenstr.
(γ -Strahlung) von 200 keV

für alle anderen Strahlen muß
ein zusätzlicher Bewertungs-
faktor **q** eingeführt werden

biologische Bewertungsfaktoren

| | | | |
|---|---------------------|---|-----------------|
| ● | β -Strahlung | : | $q \approx 1.5$ |
| ● | α -Strahlung | : | $q \approx 20$ |
| ● | thermische n | : | $q \approx 2$ |
| ● | schnelle n | : | $q \approx 10$ |

zur Orientierung

bei Ganzkörperexposition

natürliche Strahlenbelastung : $\sim 100 \text{ mrem/y}$ = 1 mSv / y

Strahlenkrankheit : $> 20 \text{ rem}$ = 0.2 Sv

Lethale Dosis : $\sim 500 \text{ rem}$ = 5 Sv

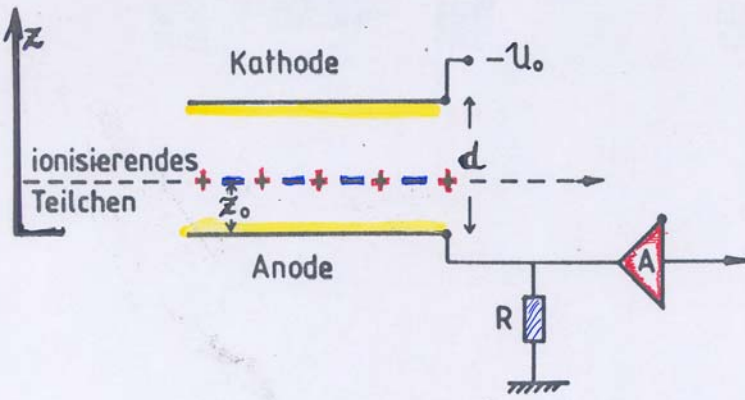
Detektoren - Grundprinzipien

Beispiele:

- ● Ionisationskammer
 - ● Proportionalzählerrohr
 - ● Geiger-Müller Zähler
 - ● Vieldraht-Proportionalkammer
 - Flüssigkeits-Ionisationsdetektor
 - Emulsionen
 - ● Halbleiterzähler
(Si-, Ge-Dioden, μ -Strips, CCD's)
 - ● Szintillationszähler
(fest, flüssig, kapillaren)
 - Čerenkov-Zähler
 - Transition-Radiation-Detektoren (TRD)
- 

A

Ionisationskammer



primärer Prozess: Ionisation des "Zählgases"
(z.B. Argon)
Trennung der positiven & negativen Ladung über
 E -Feld.

Verschiebung der Ladung erzeugt elektr. Impuls

$$|\vec{E}| = E_z = U_0/d$$

Energie: $\frac{1}{2} C U^2 = \frac{1}{2} C U_0^2 - Nq \int_{z_0}^z E_z dz$

$$U^2 - U_0^2 \approx 2U_0 \Delta U$$

$$W = - \int_A^B \vec{q} \cdot d\vec{l}$$

➤ $C \cdot U_0 \Delta U = - \frac{Nq}{d} U_0 (z - z_0)$

➤ $\Delta U = \frac{1}{C \cdot d} Nq (z - z_0)$

